

机械臂停靠系统动力学建模研究

朱仁璋 王晓光 郑安波

(北京航空航天大学)

摘要 将主航天器、机械臂末端操纵器与有效载荷视为刚体，而将机械臂连杆视为柔性体，利用拉格朗日方程建立停靠系统接触运动方程，对机械臂停靠系统给出一种简单而实用的建模方法，并对末端操纵器与有效载荷的冲击接触进行分析，研究冲击后系统的状态。此外，对冲击接触引起的系统姿态漂移，采用反馈线性控制，使系统保持稳定。

关键词 停靠系统 动力学 柔性体 拉格朗日方程

1 引言

机械臂停靠系统通常以机械臂作为首次捕获装置，整个停靠系统包括主航天器系统与次航天器系统两部分(见图 1)。这里，“主航天器系统”定义为安装有机械臂的航天器系统，由主航天器(如空间站)与机械臂组成。机械臂通常包括 2 根连杆与末端操纵器^[1]。“次航天器系统”定义为被主航天器系统机械臂捕获的对象，也被称为有效载荷，有效载荷上装有抓杆^[1]，通过抓杆与末端操纵器的坚固连接实现捕获。这样，停靠系统由下列 5 部分组成：主航天器(物体 1)；连杆 1(物体 2)；连杆 2(物体 3)；末端操纵器(物体 4)；有效载荷(物体 5)。其中，假设主航天器与末端操纵器为刚体，连杆 1 与连杆 2 为柔性体。有效载荷可为多体系统，但这里只研究单个刚体的情况。当有效载荷被机械臂末端操纵器成功捕获时，它成为物体 4 的一部分。

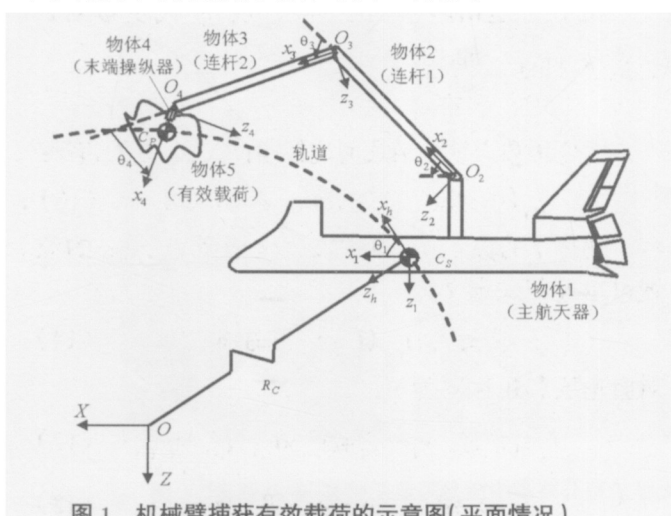


图 1 机械臂捕获有效载荷的示意图(平面情况)

本文着重研究机械臂停靠系统动力学的建模过程。对于包含柔性体的主航天器系统，根据每个物体的拉格朗日方程，组合得出整个系统的运动方程，并根据运动学速度约束矩阵的自然正交补(natural orthogonal complement, NOC)消除方程中的约束力和约束力矩。这个方法结合了牛顿-欧拉方法与拉格朗日方法的优点，既能单独地对每个物体分析，又可方便地用于包含柔性体的系统。

机械臂停靠系统动力学建模包括 3 方面内容：

- (1) 冲击接触前主航天器系统动力学，研究目的是为了控制末端操纵器的位置和速度；
- (2) 主航天器系统与次航天器系统在接触过程中的动力学，研究冲击接触对主航天器系统姿态的影响，为接触后组合体的动力学模拟提供初始条件；
- (3) 接触后组合体动力学，对接触后的残余运动进行控制，使系统稳定。

2 坐标系统

针对研究对象，本文应用下列 6 个坐标系(见图 1)：

- (1) 惯性坐标系 $OXYZ$ ，原点在地心 O 。
- (2) 轨道坐标系 $O_{x_h}y_hz_h$ ，坐标原点位于主航天器质心 C_h ， x_h 轴为主航天器轨道平面， z_h 轴与主航天器向径重合，但指向地心， x_h 轴与 z_h 轴垂直，指向运动方向； y_h 轴沿轨道面负法线方向。
- (3) 主航天器本体坐标系 $O_{x_1}y_1z_1$ ，坐标原点位于航天器质心 C_1 ， x_1 沿主航天器纵轴，指向前； z_1 在对称面内，垂直于纵轴，指向下； y_1 轴垂直于对称平面，指向右方。

(4) 局部坐标系 $O_2x_2y_2z_2$, 原点在转动连接点 O_2 , z_2 沿无形变连杆的纵轴, 指向转动连接点 O_3 ; y_2 沿连杆转动方向; z_2 与 x_2 、 y_2 满足右手关系。

(5) 局部坐标系 $O_3x_3y_3z_3$ 。

(6) 末端操纵器本体坐标系 $O_4x_4y_4z_4$, 原点在转动连接 O_4 , x_4 沿末端操纵器的纵轴, 指向次航天器系统; y_4 沿连杆转动方向; z_4 与 x_4 、 y_4 满足右手关系。

3 扩展位置矢量与速度矢量

主航天器系统 4 个物体的扩展位置矢量定义如下^[2]:

$$(1) q_i = \begin{bmatrix} \tilde{p}_i^T & \tilde{q}_i^T & \tilde{b}_i^T \end{bmatrix}^T, i=2,3, \text{ 柔性体};$$

$$(2) q_i = \begin{bmatrix} \tilde{p}_i^T & \tilde{q}_i^T \end{bmatrix}^T, i=1,4, \text{ 刚体}.$$

其中, \tilde{p}_i 为坐标系 $O_2x_2y_2z_2$ 原点 O_i 相对轨道坐标系 $O_{\text{轨道}}x_{\text{轨道}}y_{\text{轨道}}z_{\text{轨道}}$ 的位置矢量, 且 $\tilde{p}_1=0$; \tilde{q}_i 为坐标系 $O_2x_2y_2z_2$ 相对轨道坐标系 $O_{\text{轨道}}x_{\text{轨道}}y_{\text{轨道}}z_{\text{轨道}}$ 的姿态, \tilde{q}_i 可以用欧拉角或四元数表示; \tilde{b}_i 为弹性广义坐标, 用于描述柔性连杆相对局部坐标系的形变。

主航天器系统 4 个物体的扩展速度矢量定义如下^[2]:

$$(1) v_i = \begin{bmatrix} \tilde{v}_i^T & \omega_i^T & \dot{b}_i^T \end{bmatrix}^T, i=2,3, \text{ 柔性体};$$

$$(2) v_i = \begin{bmatrix} \tilde{v}_i^T & \omega_i^T \end{bmatrix}^T, i=1,4, \text{ 刚体}.$$

其中, \tilde{v}_i 为坐标系 $O_2x_2y_2z_2$ 原点 O_i 相对轨道坐标系 $O_{\text{轨道}}x_{\text{轨道}}y_{\text{轨道}}z_{\text{轨道}}$ 的速度, $\tilde{v}_i=\dot{\tilde{p}}_i$, 且 $\tilde{v}_1=0$; ω_i 为坐标系 $O_2x_2y_2z_2$ 相对轨道坐标系 $O_{\text{轨道}}x_{\text{轨道}}y_{\text{轨道}}z_{\text{轨道}}$ 的角速度; \dot{b}_i 为弹性广义坐标 b_i 对时间的导数。

设 v_i 的维数为 m_i , q_i 的维数为 n_i , m_i 与 n_i 可以不相等。 v_i 和 q_i 之间有如下关系:

$$v_i = L_i q_i, \quad (1)$$

其中, $L_i \Lambda_i = E_{m_i}$, 这里 E_{m_i} 为 m_i 阶单位矩阵^[3]。

设 r_i 为柔性连杆上的任一点相对局部坐标系 $O_2x_2y_2z_2$ 的位置矢量。定义 i_i, j_i, k_i 分别为坐标系三轴单位矢量, $(\bar{x}_i, \bar{y}_i, \bar{z}_i)$ 表示无变形杆上任一点在局部坐标系 $O_2x_2y_2z_2$ 的坐标, 假设连杆模型为细长梁, 可忽略 \bar{y}_i, \bar{z}_i , 则 r_i 可表示为^[2,4]:

$$\bar{r}_i = \bar{x}_i i_i + \mu_i(\bar{x}_i, t) \quad (2)$$

式中, μ_i 为结构形变引起(柔性杆上点)的位移, $\mu_i(\bar{x}_i, t) = \mu_{i(x)} i_i + \mu_{i(y)} j_i + \mu_{i(z)} k_i$, 它在 x_i 向的分量由轴向伸缩效应引起, 与离心力有关, 在小转速情况下可以忽略, $\mu_{i(x)}=0$ 。 μ_i 在 y_i, z_i 向上的分量由弯曲形变产生, 可表示为^[4,5]:

$$\mu_{i(y)}(\bar{x}_i, t) = \sum_{j=1}^m \phi_j(\bar{x}_i) b_{ij}(t) \quad (3)$$

$$\mu_{i(z)}(\bar{x}_i, t) = \sum_{j=1}^m \phi_{i(m+j)}(\bar{x}_i) b_{i(m+j)}(t) \quad (4)$$

式中, $\phi_j(\bar{x}_i)$ 为物体 i 的形状函数, 用以模拟柔体弹性形变, m 为形状函数数目, 形状函数为容许函数。 $\mu_i(\bar{x}_i, t)$ 可写成如下矩阵形式:

$$\mu_i(\bar{x}_i, t) = B_i(\bar{x}_i) b_i(t), \quad i=2,3 \quad (5)$$

其中, $B_i(\bar{x}_i)$ 为 $3 \times 2m$ 维的形状函数矩阵, $b_i(t)$ 为弹性广义坐标, 它们的形式分别如下:

$$B_i(\bar{x}_i) = \begin{bmatrix} 0 & \cdots & 0 & 0 & \cdots & 0 \\ \phi_{i1} & \cdots & \phi_{im} & 0 & \cdots & 0 \\ 0 & \cdots & 0 & \phi_{i(m+1)} & \cdots & \phi_{i(2m)} \end{bmatrix} \quad (6)$$

$$b_i(t) = [b_{i1} \cdots b_{im} \ b_{i(m+1)} \cdots b_{i(2m)}]^T \quad (7)$$

物体 i 末端相对局部坐标系 $O_2x_2y_2z_2$ 的转动 δ_i (y 轴分量见图 2) 可表示如下:

$$\delta_i(l_i, t) = D_i(l_i) b_i(t), \quad i=2,3 \quad (8)$$

式中, $D_i(l_i)$ 形式如下:

$$D_i(l_i) = \begin{bmatrix} 0 & \cdots & 0 & 0 & \cdots & 0 \\ 0 & \cdots & 0 & -\phi'_{i(m+1)} & \cdots & -\phi'_{i(2m)} \\ \phi'_{i1} & \cdots & \phi'_{im} & 0 & \cdots & 0 \end{bmatrix} \quad (9)$$

式中, l_i 是物体 i 的无形变长度, ϕ' 代表 ϕ 对 \bar{x}_i 的微分, 即 $\phi' = \frac{d\phi}{d\bar{x}_i}$ 。

容许函数必须满足几何边界条件, 在 $\bar{x}_i=0$ 处, 有^[5]:

$$\mu_i(0, t) = 0, \quad \delta_i(0, t) = 0, \quad i=2,3 \quad (10)$$

物体 i 的原点 O_i 相对轨道坐标系 $O_{\text{轨道}}x_{\text{轨道}}y_{\text{轨道}}z_{\text{轨道}}$ 的位置可由递归式定义为:

$$\bar{p}_i = \bar{p}_{i-1} + r_{i-1}(l_{i-1}), \quad i=3,4 \quad (11)$$

对应速度和角速度为^[2,4]:

$$\bar{v}_2 = \omega_1 \times \bar{p}_2, \quad \bar{v}_i = \bar{v}_{i-1} + \omega_{i-1} \times r_{i-1}(l_{i-1}) + \dot{\mu}_{i-1} \quad (12)$$

$$\omega_2 = \omega_1 + \dot{\theta}_2, \quad \omega_i = \omega_{i-1} + \dot{\theta}_{i-1} + \dot{\theta}_i \quad (13)$$

式中, $i=3,4$ 。假定相邻连杆之间是转动连接, θ_i 是刚体条件下坐标系 $O_{i-1}x_{i-1}y_{i-1}z_{i-1}$ 相对坐标系 $O_i-x_i-y_i-z_i$ 的方位; \tilde{p}_2 为给定常量, 是转动连接 O_2 相对坐标系 $O_1-x_1-y_1-z_1$ 原点 C_1 的位置矢量。

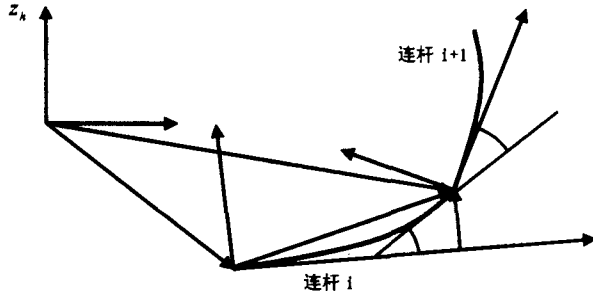


图 2 连杆在局部坐标系中的表示

4 无接触冲击的动力学方程

4.1 单件物体的动力学方程

假设主航天器和末端操纵器为刚体, 因此, 其动能和势能可表示为^[2]:

$$T_i = \frac{1}{2} v_i^T M_i v_i, \quad U_i = 0, \quad i=1, 4 \quad (14)$$

式中, M_i 为扩展质量矩阵:

$$M_i = \begin{bmatrix} m_i E_3 & 0_{3 \times 3} \\ 0_{3 \times 3} & I_i \end{bmatrix} \quad (15)$$

其中, m_i 是物体的质量; I_i 为物体 1 (主航天器) 绕质心 C_i 的转动惯量, I_4 为物体 4 (末端操纵器) 绕转动连接点 O_4 的转动惯量。

连杆 1 和连杆 2 上任一点相对轨道坐标系的位置与速度分别表示如下:

$$p_i = \tilde{p}_i + r_i \quad (16)$$

$$\dot{p}_i = \tilde{r}_i + \omega_i \times r_i + \dot{r}_i \quad (17)$$

根据式(2)与式(5), 上式又可用矩阵形式写为:

$$\dot{p}_i = \tilde{r}_i - [r_i \times] \omega_i + B_i \dot{b}_i \quad (18)$$

其中, $[r_i \times]$ 为矢积矩阵, 式(18)可进一步表示为:

$$\dot{p}_i = W_i v_i, \quad W_i = [E_3 - [r_i \times] B_i] \quad (19)$$

柔性连杆的动能可表示如下^[4]:

$$T_i = \frac{1}{2} \int_0^{l_i} \rho_i(x) \dot{p}_i^T \dot{p}_i dx + \frac{1}{2} M_i \dot{p}_i^T (l_i) \dot{p}_i (l_i) + \frac{1}{2} \omega_i^T I_{hi} \omega_i \quad (20)$$

式中, $i=2,3,4$, ρ_i 是连杆线密度, M_i 是连杆末端的

集中质量, I_{hi} 为绕转动连接的转动惯量^[6]。假定连杆是细长梁, 根据欧拉-柏努利梁理论, 忽略转动效应。 ω_i 可由扩展速度矢量 v_i 表示为:

$$\omega_i = H v_i, \quad H = [0_{3 \times 3} \quad E_3 \quad 0_{3 \times 2m}] \quad (21)$$

根据式(19)与式(21), 式(20)又可表示为:

$$T_i = \frac{1}{2} v_i^T M_i v_i, \quad$$

$$M_i = \int_0^{l_i} \rho_i W_i^T W_i dx + M_i W_i^T W_i |_{x=l_i} + H^T I_{hi} H \quad (22)$$

其中, M_i 被称为扩展质量矩阵。根据式(1), 式(22)可进一步写成如下形式:

$$T_i = \frac{1}{2} \dot{q}_i^T I_i \dot{q}_i, \quad I_i = L_i^T M_i L_i \quad (23)$$

其中, I_i 被称为广义质量矩阵。

忽略重力, 储存在柔性连杆中的弹性应变能可表示为^[4]:

$$U_i = \frac{1}{2} \int_0^{l_i} EI \left(\left(\frac{\partial^2 \mu_{i(y)}^2}{\partial x^2} \right)^2 + \left(\frac{\partial^2 \mu_{i(x)}^2}{\partial x^2} \right)^2 \right) dx \quad (24)$$

式中, $i=2, 3, 4$, E 和 I 分别是弹性模量和截面惯性矩。根据欧拉-柏努利梁理论, 忽略剪切变形。令

$$\mu''_i = B''_i b_i \quad (25)$$

符号 a'' 表示 a 对 x_i 的二阶偏导数, $a'' = \frac{\partial^2 a}{\partial x_i^2}$ 。势能的矩阵形式为:

$$U_i = \frac{1}{2} \dot{q}_i^T K_i \dot{q}_i, \quad K_i = \begin{bmatrix} 0 & 0 & 0 \\ 0 & 0 & 0 \\ 0 & 0 & K''_i \end{bmatrix} \quad (26)$$

式中,

$$K''_i = EI \int_0^{l_i} B''_i^T B''_i dx$$

得到物体的动能和势能之后, 代入拉格朗日方程:

$$\frac{d}{dt} \left(\frac{\partial T_i}{\partial \dot{q}_i} \right) - \frac{\partial T_i}{\partial q_i} = w_i - \frac{\partial U_i}{\partial q_i} \quad (27)$$

式中, $i=1,2,3,4$; w_i 为作用在物体 i 上的非保守广义力矢量^[7],

$$w_i = w_E + w_G + w_{Ai}$$

这里, w_E 为外力矢量, w_G 为运动学约束力矢量, w_{Ai} 为代数约束力矢量(由四元素代数约束引起)。用 L_i^T 左乘式(27), 根据 $L_i^T w_{Ai} = 0$ 消去 w_{Ai} , 则物体 i 的运动方程为^[8]:

$$M_i \dot{v}_i = u_E + u_S + u_C \quad (28)$$

式中, u_E 表示广义外力, u_C 表示广义约束力, u_S 表示系统力(离心力, 柯氏力, 阻尼力等):

$$\begin{aligned} u_E &= \Lambda^T w_E, \quad u_C = \Lambda^T w_C \\ u_S &= M_i \dot{L}_i \Lambda_i v_i - \Lambda^T \dot{L}_i \Lambda_i v_i + \\ &\quad \frac{1}{2} \Lambda^T \frac{\partial}{\partial q_i} [v T i M_i v_i] - \Lambda^T \frac{\partial U_i}{\partial q_i} \end{aligned}$$

4.2 整个系统的动力学方程

组合 4 个物体的运动方程, 则主航天器系统的运动约束方程可表示为:

$$M \ddot{v} = u_E + u_S + u_C \quad (29)$$

其中, M 为系统的广义扩展质量矩阵, \ddot{v} 为广义扩展加速度, u_E 为广义扩展外力, u_S 为广义扩展系统力, u_C 为广义扩展约束力:

$$\begin{aligned} M &= \text{diag}[M_1, M_2, M_3, M_4] \\ \dot{v} &= \left[\begin{array}{cccc} \dot{v}_1^T & \dot{v}_2^T & \dot{v}_3^T & \dot{v}_4^T \end{array} \right]^T \\ u_E &= \left[\begin{array}{cccc} u_{E1}^T & u_{E2}^T & u_{E3}^T & u_{E4}^T \end{array} \right]^T \\ u_S &= \left[\begin{array}{cccc} u_{S1}^T & u_{S2}^T & u_{S3}^T & u_{S4}^T \end{array} \right]^T \\ u_C &= \left[\begin{array}{cccc} u_{C1}^T & u_{C2}^T & u_{C3}^T & u_{C4}^T \end{array} \right]^T \end{aligned}$$

根据相邻连杆体的线速度与角速度的约束关系, 可得运动学约束方程^[9,10]:

$$C = 0 \quad (30)$$

其中 C 是运动学速度约束矩阵。

用一组最小的独立广义坐标表示运动方程的解空间, 该广义坐标定义为^[4]:

$$\Psi = [\Psi_1^T \quad \Psi_2^T \quad \Psi_3^T \quad \Psi_4^T]^T \quad (31)$$

式中,

$$\Psi_1 = [\theta_1], \quad \theta_1 = [\alpha \quad \beta \quad \gamma]^T$$

$$\Psi_2 = [\theta_2 \quad b_2^T]^T, \quad \Psi_3 = [\theta_3 \quad b_3^T]^T, \quad \Psi_4 = [\theta_4]$$

这里, 欧拉角 α, β, γ 描述主航天器的姿态。其余 3 个物体的广义坐标取决于该物体是柔性体还是刚体。

根据运动学关系式(12)与式(13), 广义扩展速度 v 可由独立的广义速度 $\dot{\Psi}$ 表示为:

$$v = N \dot{\Psi} \quad (32)$$

转换矩阵 N 是速度约束矩阵 C 的自然正交补。对上式求导:

$$\dot{v} = N \ddot{\Psi} + N \dot{\Psi} \quad (33)$$

由达朗伯原理可知, 约束力不做功, 即

$$N^T u_C = 0 \quad (34)$$

用 N^T 左乘式(29), 根据式(34)消去约束力 u_C , 并将式(33)代入, 则不含约束的主航天器系统动力学方程表示如下:

$$\tilde{M} \ddot{\Psi} = c(\Psi, \dot{\Psi}) + f \quad (35)$$

式中, \tilde{M} 为系统广义质量矩阵(对称正定矩阵), f 代表广义外力, c 包含柯氏惯性项、阻尼项和离心项:

$$\tilde{M} = N^T M N, \quad c = N^T [u_S - M N \dot{\Psi}], \quad f = N^T u_E \quad (36)$$

5 冲击作用下的动力学方程与控制

5.1 动力学方程

如果有力和力矩作用于主航天器系统末端(机械臂的末端操纵器), 式(35)应表示为^[4]:

$$\tilde{M} \ddot{\Psi} = c(\Psi, \dot{\Psi}) + f + J^T \lambda \quad (37)$$

式中, λ 为作用在末端操纵器的力和力矩; J 为 $6 \times N'$ 维的主航天器系统雅克比矩阵^[4,11]:

$$J = \begin{bmatrix} J_1 \\ J_2 \end{bmatrix} \quad (38)$$

其中

$$\begin{aligned} J_1 &= \left[\begin{array}{cccc} \frac{\partial p_n}{\partial \Psi_1} & \frac{\partial p_n}{\partial \Psi_2} & \dots & \frac{\partial p_n}{\partial \Psi_{N'}} \end{array} \right] \\ J_2 &= \left[\begin{array}{cccc} \frac{\partial \omega_n}{\partial \dot{\Psi}_1} & \frac{\partial \omega_n}{\partial \dot{\Psi}_2} & \dots & \frac{\partial \omega_n}{\partial \dot{\Psi}_{N'}} \end{array} \right] \end{aligned} \quad (39)$$

式中, N' 为广义坐标自由度, p_n 和 ω_n 是主航天器系统末端相对主航天器的位置和角速度矢量:

$$p_n = \tilde{p}_n + r_2(l_2) + r_3(l_3) + r_4 \quad (40)$$

$$\omega_n = \omega_1 + \dot{\theta}_2 + \dot{\delta}_2 + \dot{\theta}_3 + \dot{\delta}_3 + \dot{\theta}_4 \quad (41)$$

式中, r_4 为作用在末端操纵器的力的作用点相对转动连接 O_4 的位置矢量。

现在考虑主航天器系统与有效载荷的冲击接触, 并设定下列基本假设^[12]:

(1) 在接触期间, 尽管广义速度变化很大, 但系统的广义坐标保持不变(该假设同样适用于转动坐标和弹性坐标);

(2) 末端操纵器与有效载荷之间的接触点上只存在作用力, 没有力矩。

根据式(37)可知, 在接触期间, 主航天器系统的

运动方程为:

$$\tilde{M}\ddot{\psi} = c + f + J^T f_i \quad (42)$$

式中, J 是主航天器系统在接触点处的雅克比矩阵, 定义如式(39)中的 J ; f_i 为冲击力矢量。单刚体有效载荷的运动方程为^[13]:

$$M_p \dot{w}_p = c_p - A \xi_1 \quad (43)$$

式中, w_p 是次航天器系统质心速度和角速度组成的 6 维扩展速度矢量; 矢量 c_p 包含与位置和速度相关的项, 如柯氏惯性项、阻尼项和离心项。 $\xi_1 =$

$\begin{bmatrix} f_i^T & 0_{3 \times 3} \end{bmatrix}^T$; M_p 是扩展质量矩阵, 形式如下:

$$M_p = \begin{bmatrix} m_p E_3 & 0_{3 \times 3} \\ 0_{3 \times 3} & I_p \end{bmatrix} \quad (44)$$

式中, m_p 是次航天器系统质量, I_p 是质心惯量矩阵; A 可表示为:

$$A = \begin{bmatrix} E_3 & 0_{3 \times 3} \\ [r_{pb} \times] & E_3 \end{bmatrix} \quad (45)$$

式中, r_{pb} 是次航天器系统接触点相对其质心的位置矢量。根据上述基本假设(2), 式(42)与式(43)中不出现冲击力矩。由式(42)与式(43), 消去冲击力矢量 f_i , 可得:

$$J^T S^{-1} [E_3 - [r_{pb} \times]] \dot{w}_p + \tilde{M} \ddot{\psi} = c + f + J^T S^{-1} [m_p^{-1} E_3 - [r_{pb} \times] I_p^{-1}] c_p \quad (46)$$

其中,

$$S = m_p^{-1} E_3 - [r_{pb} \times] I_p^{-1} [r_{pb} \times]$$

由上述基本假设(1)可知, 接触期间系统广义坐标保持不变, 而广义速度可以改变。因 J 和 \tilde{M} 仅依赖于广义坐标, 不依赖广义速度, 因此, 对时间 τ (接触持续时间) 积分时可将其提到积分号外。由于通常情况下, 接触力很大, 作用时间很短, 因此, 可以假定下列量级关系^[13]:

$$\tau = O(\varepsilon), \quad \dot{\psi}, \dot{w}_p = O(1/\varepsilon)$$

$$\psi, r_{pb}, \dot{\psi}, w_p = O(1), \quad \varepsilon \leq 1$$

对式(46)积分, 保留 $O(1)$ 项, 忽略 $O(\varepsilon)$ 项, 有:

$$J^T S^{-1} [E_3 - [r_{pb} \times]] (w_{pf} - w_{pi}) + \tilde{M} (\dot{\psi}_f - \dot{\psi}_i) = 0 \quad (47)$$

式中, 下标 i 与 f 分别表示开始接触与脱离接触两个节点。上式表示广义动量守恒, 适用于任意类型接触(从塑性接触到完全弹性接触)。对塑性接触, 两个系

统在接触点彼此刚性连接; 对完全弹性接触, 系统压缩后的反弹不伴随能量损失。塑性接触与成功捕获对应, 本文只研究这种情况。对塑性接触, 冲击后两系统在接触点处的速度相同, 因此可得^[14]:

$$[E_3 - [r_{pb} \times]] w_{pf} = J \dot{\psi}_f \quad (48)$$

主航天器系统冲击后的广义速度 $\dot{\psi}_f$ 形式如下:

$$\dot{\psi}_f = G^{-1} H \quad (49)$$

式中

$$G = J^T S^{-1} J + \tilde{M} \quad (50)$$

$$H = J^T S^{-1} (v_{pi} - [r_{pb} \times] w_{pi}) + \tilde{M} \dot{\psi}_i \quad (51)$$

冲击后有效载荷的质心速度和角速度如下:

$$v_{pf} = m_p^{-1} S^{-1} (J \dot{\psi}_f m_p [r_{pb} \times] I_p^{-1} [r_{pb} \times] v_{pi} + [r_{pb} \times] \omega_{pi}) \quad (52)$$

$$\omega_{pf} = m_p I_p^{-1} [r_{pb} \times] (v_{pf} - v_{pi}) \omega_{pi} \quad (53)$$

显然, 根据接触前的初始条件 $\dot{\psi}_i$ 、 v_{pi} 和 ω_{pi} , 利用式(49)至式(53)可分别求出 $\dot{\psi}_f$ 、 v_{pf} 和 ω_{pf} 。

5.2 控制方案设计

由于末端操纵器与安装在有效载荷上的抓杆之间存在相对速度, 这将产生接触冲击; 为避免冲击引起的姿态漂移, 需要施加控制以保持系统稳定。这里采用反馈线性控制法, 即通过反馈使运动方程线性化。控制力矩由机械臂转动连接处的驱动电机, 或者由安装在主航天器上的推力器、反作用轮来提供。为了方便对主航天器-机械臂-有效载荷系统的动力学进行控制与仿真, 这里将主航天器系统动力学方程式(35)表示为下列形式^[13]:

$$\begin{bmatrix} M_{\theta\theta} & M_{\theta b} \\ M_{b\theta} & M_{bb} \end{bmatrix} \begin{bmatrix} \dot{\theta} \\ \dot{b} \end{bmatrix} = \begin{bmatrix} c_\theta \\ c_b \end{bmatrix} + \begin{bmatrix} k \\ 0 \end{bmatrix} \quad (54)$$

式中, θ 是航天器姿态角与机械臂转角组成的矢量, b 是弹性广义坐标组成的矢量; 下标 θ 和 b 分别表示矩阵和矢量与 θ 和 b 相关。 k 是控制力矩。消去 b , 上式又可写为:

$$\hat{M} \dot{\theta} = \hat{c} (\psi + \dot{\psi}) + k \quad (55)$$

$$\text{式中, } \hat{M} = M_{\theta\theta} - M_{\theta b} M_{bb}^{-1} M_{b\theta}, \quad \hat{c} = c_\theta - M_{\theta b} M_{bb}^{-1} c_b \quad (56)$$

采用反馈线性控制, 控制力矩为:

$$k = -\hat{M} [D_1 \dot{\theta} + D_2 (\theta - \theta_d)] - \hat{c} \quad (57)$$

式中, θ_d 表示 θ 的期望终值, \hat{c} 为控制力矩中的非线性补偿项, D_1 与 D_2 为对角矩阵:

$$D_1 = \text{diag}[2\zeta_1 \omega_1, 2\zeta_2 \omega_2, \dots] \quad (58)$$

$$D_2 = \text{diag}[\omega_1^2, \omega_2^2, \dots] \quad (59)$$

这里, ζ_i 与 ω_i 分别为期望阻尼系数与期望频率。因此, 式(55)可表示为一组非耦合的线性方程:

$$\ddot{\theta} + D_1 \dot{\theta} + D_2 (\theta - \theta_d) = 0 \quad (60)$$

上述控制方案相对比较简单, 假定所有状态是可知的, 并且忽略噪声。

6 结论

在机械臂停靠系统动力学研究中, 一种比较简单而实用的模型是将主航天器、机械臂末端操纵器与有效载荷视为刚体, 而将机械臂连杆视为柔性体。利用拉格朗日方程, 建立停靠系统接触运动方程, 并对末端操纵器与有效载荷的冲击接触进行分析, 研究冲击后的系统的状态。此外, 对冲击接触引起的系统姿态漂移, 采用反馈线性控制, 使系统保持稳定。 ◇

参考文献

- [1] 朱仁璋, 郑安波, 娄汉文, 王晓光. 航天器联接系统发展概况综述[J]. 载人航天, 2007, 23(1)
- [2] Cyril X, Jaar G J, and Misra A K. Dynamical Modeling and Control of A Spacecraft-Mounted Manipulator Capturing A Spinning Satellite, *Acta Astronautica*, 1995, 36(2/3): 167~174
- [3] Min B N, Misra A K, Cyril X, Modi V J, de Silva C W. Simulation of The Dynamics of Space Systems Using Object-Oriented Modeling,

AIAA 2000-4177

- [4] Kim S W. Contact Dynamics and Force Control of Flexible Multi-Body Systems, PHD Thesis, Department of Mechanical Engineering, McGill University, Montreal, Quebec, Canada
- [5] Yoshimoto M. Dynamics and Control of a Space Manipulator, PHD Thesis, Department of Engineering Science and Mechanics, The Pennsylvania State, America
- [6] Chapnik B V, Heppeler G R, and Aplevich J D. Modeling Impact on a One-Link Flexible Robotic Arm, *IEEE Transaction On Robotics and Automation*, August 1991, 17(4)
- [7] Cyril X, Angeles J, and Misra A K. Dynamics of Flexible Multibody Mechanical Syetems, *Transactions of The CSME*, 1991, 16 (3): 236~266
- [8] Boutin B A, and Misra A K. Dynamics of Manipulating Truss Structures, AIAA-96-3623-CP
- [9] Saha S K, and Angeles J. Dynamics of Nonholonomic Mechanical Systems Using A Natural Orthogonal Complement, *ASME Journal of Applied Mechanics*, 1991(68): 238~243
- [10] Angeles J, and Lee S. The Formulation of Dynamical Equations of Holonomic Mechanical Systems Using a Natural Orthogonal Complement, *ASME Journal of Applied Mechanics*, 1988a(66): 243~244
- [11] Yoji Umetani and Kazuya Yoshida, Resolved Motion Rate Control of Space Manipulators With Generalized Jacobian Matrix, *IEEE Transactions on Robotics and Automation*, June 1989, 5(3)
- [12] Cyril X, Kim S W, and Misra A K. Post-Impact Dynamics of Two Multi-body Systems Attempting Docking/Berthing, *Acta Astronautical*, 1997, 40(11): 769~769
- [13] Cyril X, Misra A K, and Ingham M. Postcapture Dynamics of a Spacecraft-Manipulator-Payload System, *Journal of Guidance, Control and Dynamics*, January–February 2000, 23(1): 96~99
- [14] Cyril X, Jaar G J, and Misra A K. The Effect of Payload Impact on the Dynamics of a Space Robot, *Proceedings of the 1993 IEEE/RSJ International Conference on Intelligent Robots and Systems*, Yokohama, Japan, July, 1993: 26~30